

УДК 544.171.6:548.312.5

**ЛОКАЛЬНОЕ АТОМНОЕ СТРОЕНИЕ МОНО- И БИЯДЕРНЫХ  
МЕТАЛЛОКОМПЛЕКСОВ НА ОСНОВЕ БИС-АЗОМЕТИНОВ  
3-ФОРМИЛПИРОНА И 3-ФОРМИЛКУМАРИНА**

**В.Г. Власенко<sup>1</sup>, Л.Д. Попов<sup>2</sup>, И.Н. Щербаков<sup>2</sup>, В.В. Луков<sup>2</sup>, С.И. Левченков<sup>2,3</sup>,  
И.В. Панков<sup>2</sup>, Я.В. Зубавичус<sup>4</sup>, А.Л. Тригуб<sup>4</sup>**

<sup>1</sup>НИИ физики Южного федерального университета, Ростов-на-Дону, Россия

E-mail: v\_vlasenko@rambler.ru

<sup>2</sup>Южный федеральный университет, Ростов-на-Дону, Россия

<sup>3</sup>Южный научный центр РАН, Ростов-на-Дону, Россия

<sup>4</sup>Национальный исследовательский центр "Курчатовский институт", Москва, Россия

Статья поступила 18 октября 2016 г.

С доработки — 23 января 2017 г.

Получена серия комплексов Cu, Ni и Mn на основе азометинов формил-пирона и формил-кумарина с 1,3-диаминопропанолом-2. Анализ структуры рентгеновских K-краев поглощения (XANES и EXAFS) комплексов Cu, Ni и Mn с использованием как Фурье-, так и вейвлет-преобразований позволил установить параметры локального атомного строения и однозначно доказать образование как димерных, так и мономерных структур для этих координационных соединений. Показано, что возможность образования биядерных соединений зависит в основном от природы мостикового лиганда и не зависит от типа полидентатного азометинового лиганда — пирона либо кумарина. Полученные структурные результаты находятся в хорошем согласии с данными магнетохимических исследований комплексов.

DOI: 10.15372/JSC20170622

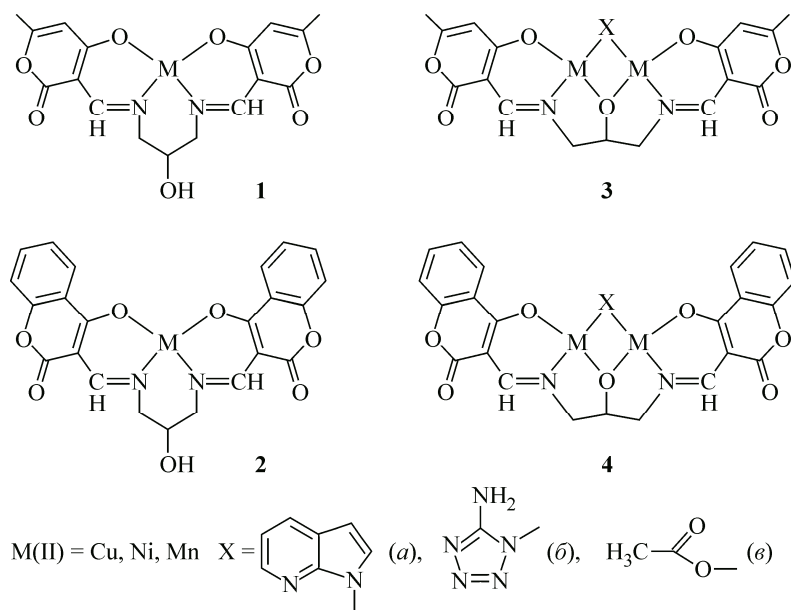
**Ключевые слова:** азометины, металлокомплексы, рентгеновская спектроскопия поглощения, вейвлет-анализ.

Металлокомплексы с азометинами (основаниями Шиффа) давно привлекают внимание исследователей благодаря использованию их в различных областях науки и техники, что связано с наличием у них практически важных свойств. В литературе имеются многочисленные данные о разнообразной биологической активности таких комплексов [1—5], их фотоактивных [6—8], катализитических [9—11], магнитных [12—19] свойствах и др. [20, 21]. Известно об использовании их в качестве присадок к смазочным маслам [22, 23], компонентов в OLEDs устройствах [24, 25]. Несомненный интерес представляют также комплексы азометинов для современной бионеорганической химии как модели металлоэнзимов [26—30], а также для супрамолекулярной химии [31]. Некоторые комплексы с азометинами проявляют кроссовер-эффект и необычные фотолюминесцентные свойства [32, 33]. Помимо этого для бис-азометинов на основе 1,3-диаминопропанола-2 характерно образование биядерных комплексов, которые являются удобными моделями для изучения обменного взаимодействия между парамагнитными ионами [15].

Ранее нами были синтезированы и всесторонне изучены биядерные металлокомплексы с бис-азометинами 1,3-диаминопропанола-2 на основе ароматических и гетероциклических аль-

дегидов [ 34—37 ]. Было показано, что на строение и магнитные свойства комплексов влияет альдегидный фрагмент и природа мостиковых фрагментов, связывающих катионы металлов в биядерных комплексах [ 15, 16, 35 ].

В литературе описаны некоторые комплексы с азометинами, содержащими кумариновый и пироновый фрагменты [ 38 ], однако комплексы с азометиновыми лигандами на основе 1,3-диаминопропанола-2 и формил-кумарина (пирона) до настоящего времени не описаны. В данной работе представлены результаты исследования новых моно- и биядерных металлокомплексов с бис-азометинами формил-кумарина и формил-пирона **1—4** методами рентгеновской спектроскопии поглощения и низкотемпературной магнетохимии с целью определения локальной атомной структуры в отсутствие прямых рентгеноструктурных данных и выявления особенностей, вносимых пироновым (кумариновым) фрагментом в структуру и свойства комплексов металлов.



### ЭКСПЕРИМЕНТАЛЬНАЯ ЧАСТЬ

**Синтез.** Комpleксы **1—4** получены по описанным методикам [ 35—37 ]. К кипящему раствору (сuspензии) соответствующего бис-азометина  $H_3L$  (0,001 моль) в 20 мл метанола добавляли перхлорат металла (0,002 моль) и кипятили до растворения. Затем в полученный раствор добавляли раствор соответствующего мостикового лиганда  $X$  (0,001 моль) в метаноле. При синтезе комплексов типа **3** и **4** добавляли также избыток триэтиламина в качестве депротонирующего агента. Смесь кипятили в течение 6 ч. Выпавший осадок отделяли, промывали дважды кипящим метанолом и высушивали в вакууме при 110 °C. Состав комплексов отвечал общей формуле  $M(HL)$  (комплексы **1—2**) или  $M_2L—X$  (комплексы **3—4**).

**Удельную магнитную восприимчивость** в твердой фазе определяли относительным методом Фарадея в интервале температур 77,4—300 K, в качестве эталона для калибровки использовали  $Hg[Co(CNS)_4]$ .

**Рентгеновская спектроскопия поглощения.** Рентгеновские  $Cu$ ,  $Ni$  и  $MnK$ -края поглощения соединений **1—4** регистрировали на станции "Структурное материаловедение" Курчатовского источника синхротронного излучения (Москва) [ 39 ]. Рентгеновские спектры поглощения обрабатывали стандартной процедурой выделения фона, нормирования на величину скачка  $K$ -края и выделения атомного поглощения  $\mu_0$  [ 40 ], после чего проводили Фурье-преобразование выделенного EXAFS ( $\chi$ )-спектра в интервале волновых векторов фотоэлектронов  $k$  от 2,5 до 12—13 Å<sup>−1</sup> с весовой функцией  $k^3$ . Полученный модуль Фурье-трансформанты (МФТ)

EXAFS с точностью до фазового сдвига соответствовал радиальной функции распределения атомов вокруг поглощающего иона металла. Точные значения параметров ближайшего окружения иона металла в исследованных соединениях определяли путем нелинейной подгонки параметров соответствующих координационных сфер (КС) при сопоставлении рассчитанного EXAFS и выделенного из полного спектра поглощения методом Фурье-фильтрации. Указанную нелинейную подгонку производили с использованием пакета программ IFFEFIT [ 41 ]. Необходимые для построения модельного спектра фазы и амплитуды рассеяния фотоэлектронной волны рассчитывали по программе FEFF7 [ 42 ] для близких по своему строению модельных комплексов, найденных в Кембриджской базе структурных данных.

Число параметров, варьируемых при многосферной подгонке, во всех случаях не превышало числа независимых параметров  $N_{\text{ind}}$ , которое можно достоверно определить из данного EXAFS-спектра в заданных интервалах  $\Delta k$  и  $\Delta r$ , которое определяется как [ 43 ]:

$$N_{\text{ind}} = (2\Delta r \Delta k / \pi) + 1, \quad (1)$$

где  $\Delta k$  — анализируемая область EXAFS в пространстве волновых векторов фотоэлектрона;  $\Delta r$  — область  $R$ -пространства, в которой проводится Фурье-фильтрация.

В процессе подгонки минимизировали функцию (2):

$$\chi^2 = \frac{N_{\text{ind}}}{N_{\text{pts}} \varepsilon^2} \sum_{i=1}^{N_{\text{pts}}} \{ [\text{Re}(\tilde{\chi}_{\text{data}}(R_i) - \tilde{\chi}_{\text{th}}(R_i))]^2 + [\text{Im}(\tilde{\chi}_{\text{data}}(R_i) - \tilde{\chi}_{\text{th}}(R_i))]^2 \}, \quad (2)$$

где  $N_{\text{pts}}$  — количество точек в подгоняемой области. Абсолютное значение среднеквадратичного отклонения между модельным и экспериментальным спектрами определяли по  $\mathfrak{R}$ -фактору, который рассчитывался [ 44 ]:

$$\mathfrak{R} = \sum_{i=1}^{N_{\text{pts}}} \frac{[\text{Re}(\chi_{\text{data}}(R_i) - \chi_{\text{th}}(R_i))]^2 + [\text{Im}(\chi_{\text{data}}(R_i) - \chi_{\text{th}}(R_i))]^2}{[\text{Re}(\chi_{\text{data}}(R_i))]^2 + [\text{Im}(\chi_{\text{data}}(R_i))]^2}. \quad (3)$$

Кроме традиционного подхода анализа спектров с использованием Фурье-преобразования использовали также метод вейвлет-преобразования (WT) для анализа функции EXAFS  $\chi(k)$  [ 45—47 ]. Метод WT позволяет разделить рассеяние от атомов различного вида, находящихся в одной КС. WT для анализа функции  $\chi(k)$  имеет вид:

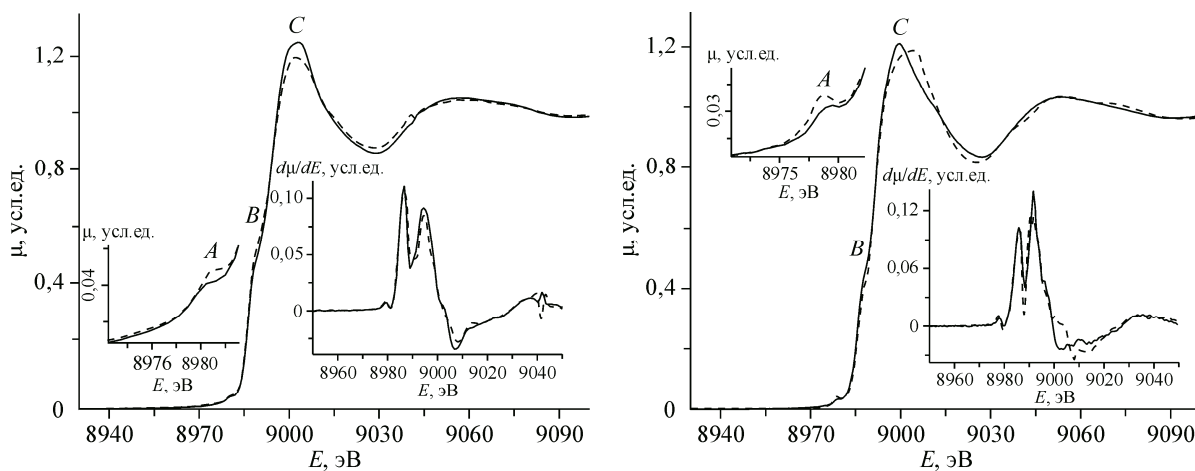
$$W^\psi \chi(u, s) = \frac{1}{\sqrt{s}} \int_{-\infty}^{+\infty} dk \chi(k) \psi\left(\frac{k-u}{s}\right), \quad (4)$$

где  $\psi$  — материнский вейвлет; параметр  $u$  отвечает за сдвиг функции по оси  $k$ ; параметр  $s$  — за масштабирование всей вейвлет-функции, что является аналогом частоты в преобразовании Фурье. Для перехода в  $(k, R)$  пространство необходимо сделать соответствующую замену  $u = k$ ,  $s = 1/2r$ . При анализе EXAFS в основном применяется материнский вейвлет Морле (Morlet), который представляет собой плоскую волну, промодулированную гауссианом конечной ширины:

$$\psi_{\sigma\eta}(t) = \frac{1}{\sqrt{2\pi}\sigma} (e^{i\eta t} - e^{(\eta^2\sigma^2)/2}) e^{-(t^2/2\sigma^2)}, \quad (5)$$

где  $\eta$  — число осцилляций в вейвлет-функции или частота;  $\sigma$  — полуширина гауссова окна.

Таким образом, вейвлет-преобразование EXAFS аналогично Фурье-преобразованию, но проводится одновременно как в  $r$ -пространстве, так и в  $k$ -пространстве волновых векторов фотоэлектронных волн. Графическое представление вейвлет-преобразования имеет вид трехмерного графика  $|W^\psi \chi(k, r)|^2$  (при фиксированных  $\eta$  и  $\sigma$ , (4)), где локальные максимумы соответствуют рассеянию на атомах, для которых  $F_i(k)$  амплитуда обратного рассеяния существенно различна. Известно, что легкие атомы С, О, N наиболее эффективно рассеивают низкоэнергетические фотоэлектроны с малыми волновыми векторами  $k$  (максимум рассеяния при  $k = 4—6 \text{ \AA}^{-1}$ ), тогда как для более тяжелых атомов максимум рассеяния сдвигается в сторону больших  $k$ . Таким образом, применение WT для EXAFS позволяет разделить вклады в суммарное рассеяние фотоэлектронной волны от атомов различного вида, находящихся на одинаковом расстоянии от поглощающего центра. В качестве недавних примеров можно привести успешное при-



*Рис. 1.* Нормированные CuK-края поглощения для комплексов меди: левая панель — **36Cu** (штрихи), **46Cu** (сплошная линия), правая панель — **2aCu** (штрихи), **1aCu** (сплошная линия).

На вставках показаны соответствующие первые производные и предкраевая область K-краев поглощения

менение этого метода для анализа локальной атомной структуры димерных комплексов металлов [47—49].

#### ОБСУЖДЕНИЕ РЕЗУЛЬТАТОВ

Локальное атомное строение комплексов **1—4** установлено из анализа XANES и EXAFS соответствующих *K*-краев поглощения металлов. На рис. 1 приведены нормированные XANES на CuK-краях поглощения, их первые производные  $d\mu/dE$  и предкраевая область для комплексов меди **1aCu**, **2aCu** и **36Cu**, **46Cu**. Все XANES имеют близкую структуру, состоящую из основного пика поглощения *C*, обусловленного электронными переходами  $1s \rightarrow 4p^*$ , плеча *B* и предкраевых пиков *A*. Проявление предкраевых пиков *A* в спектрах обусловлено в основном *p*—*d*-смешиванием АО меди в случае низкосимметричного окружения, когда снимается вырождение вакантных *p*-орбиталей иона металла. Как видно из рис. 1, в XANES комплексов меди **1aCu**, **2aCu** и **36Cu**, **46Cu** предкраевые пики *A* имеют заметные величины, указывая на отсутствие симметричного окружения меди. На низкую симметрию окружения указывает и вид первых производных краев, имеющих несколько максимумов из-за расщепления вакантных *p*-уровней ионов металла в кристаллическом поле окружения. Проявление плеча *B* на CuK-краях поглощения характерно обычно для плоскоквадратных комплексов, когда происходят переходы на изолированные вакантные  $p_z^*$ -орбитали металла ( $z \perp$  плоскости).

Количественные характеристики локального атомного окружения в комплексах меди **1aCu**, **2aCu** и **36Cu**, **46Cu** найдены из анализа EXAFS CuK-краев этих соединений. На рис. 2 и 3 показаны МФТ EXAFS комплексов меди **1aCu**, **2aCu** и **36Cu**, **46Cu** и соответствующие WT-карты.

МФТ всех комплексов меди содержит основной пик около  $r = 1,5 \text{ \AA}$ , однозначно отвечающий проявлению первой КС из атомов азота и кислорода лигандов (L и X) и пиков на больших расстояниях, отвечающих последующим КС большего радиуса. Основным отличием МФТ **36Cu**, **46Cu** от МФТ **1aCu**, **2aCu** является проявление пиков при  $r = 3,3 \text{ \AA}$ , которые отсутствуют у последних. Состав КС, отвечающих этим пикам, можно определить из вида соответствующих WT-карт, показывающих рассеяние фотоэлектронов в  $r, k$ -координатах. Из рис. 2 видно, что пикам МФТ **36Cu**, **46Cu** при  $r = 3,3 \text{ \AA}$  отвечают две области рассеяния с максимумами при разных значениях волновых векторов около 7 и  $11 \text{ \AA}^{-1}$ . Из этого можно сделать вывод, что этот пик соответствует КС смешанного состава, содержащей как легкие атомы лигандов (L и X), так и атомы меди. WT-преобразование EXAFS комплексов **1aCu**, **2aCu** дает иную картину, где отсутствуют области рассеяния с максимумами при больших значениях волновых векторов, указывая, что все КС состоят из легких атомов лигандов L. Таким образом, можно утверждать, что ком-

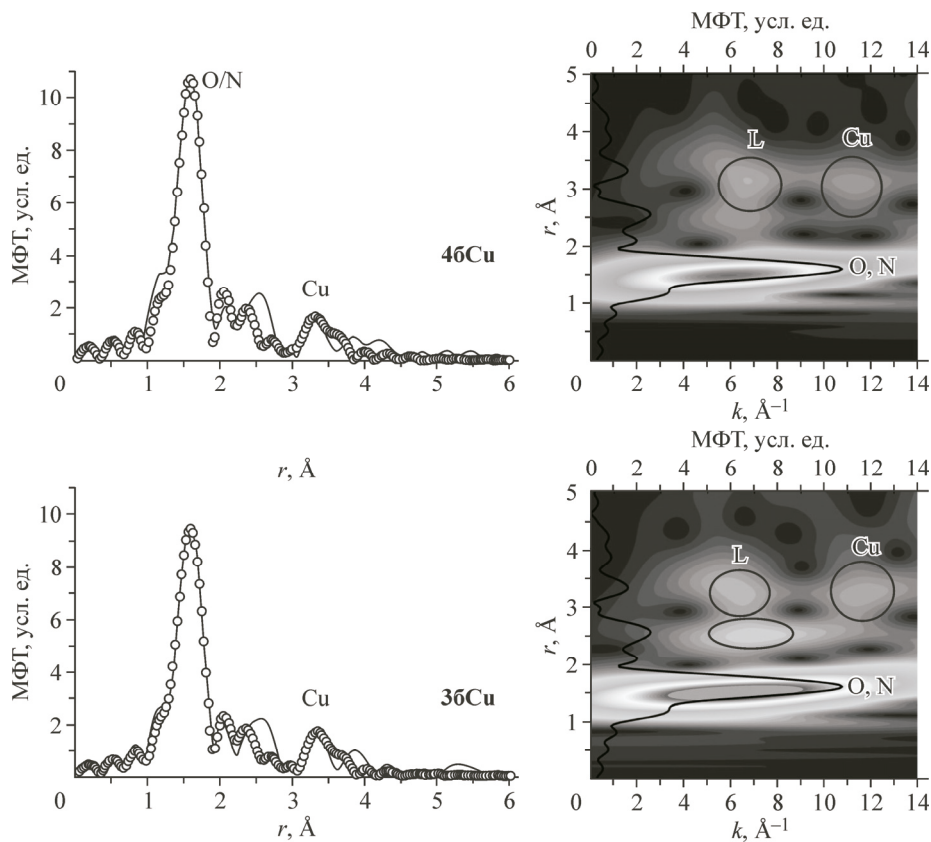


Рис. 2. МФТ EXAFS CuK-края для комплексов меди **36Cu**, **46Cu** (сплошная линия — эксперимент, пустые кружки — теория) и соответствующие WT-карты

плексы **36Cu** и **46Cu** имеют димерное строение с мостиком X, тогда как комплексы **1aCu** и **2aCu** относятся к мономерам.

Количественные характеристики КС для наилучших моделей локального атомного строения в комплексах меди **1aCu**, **2aCu** и **36Cu**, **46Cu**, полученные в результате аппроксимации рассчитанных EXAFS к эксперименту, приведены в табл. 1. Анализ данных показывает, что первая КС во всех комплексах имеет близкий средний радиус около 1,92—1,96 Å и одинаковое координационное число (КЧ), равное 4, что хорошо согласуется с данными, полученными из рассмотрения XANES этих соединений. В димерных комплексах **36Cu**, **46Cu** расстояние Cu...Cu составило 3,63—3,65 Å.

На рис. 4 приведены XANES Ni и MnK-краев для комплексов **2vNi**, **3vNi**, **2vMn** и **3vMn**. Предкраевая область всех краев характеризуется наличием пиков, обусловленных, как уже было сказано, электронными переходами  $1s \rightarrow 3d$  в силу  $3d$ — $4p$ -смешивания АО металла, когда симметрия окружения поглощающего атома не имеет центра инверсии. Как видно из рис. 4, структура XANES комплексов никеля и марганца существенно отличны, что указывает на различную геометрию координационных полиэдров в этих соединениях. Для комплекса **3vNi** характерна узкая одиночная интенсивная "белая линия" C и незначительная по амплитуде предкраевая структура A, тогда как для XANES **2vNi** характерно появление более интенсивной предкраевой структуры A и наличие интенсивного плеча B, а "белая линия" расщеплена и уменьшается по интенсивности. Первые производные краев соответственно также сильно различны: для **3vNi** производная представляет собой узкий интенсивный максимум, первая производная для края поглощения **2vNi** расщеплена на несколько максимумов малой амплитуды. Такой вид XANES комплекса **2vNi** характерен для искаженного плоскоквадратного окружения иона металла. Пик B края поглощения для **2vNi** при этом обусловлен электронным переходом  $1s \rightarrow 4p_z$ .

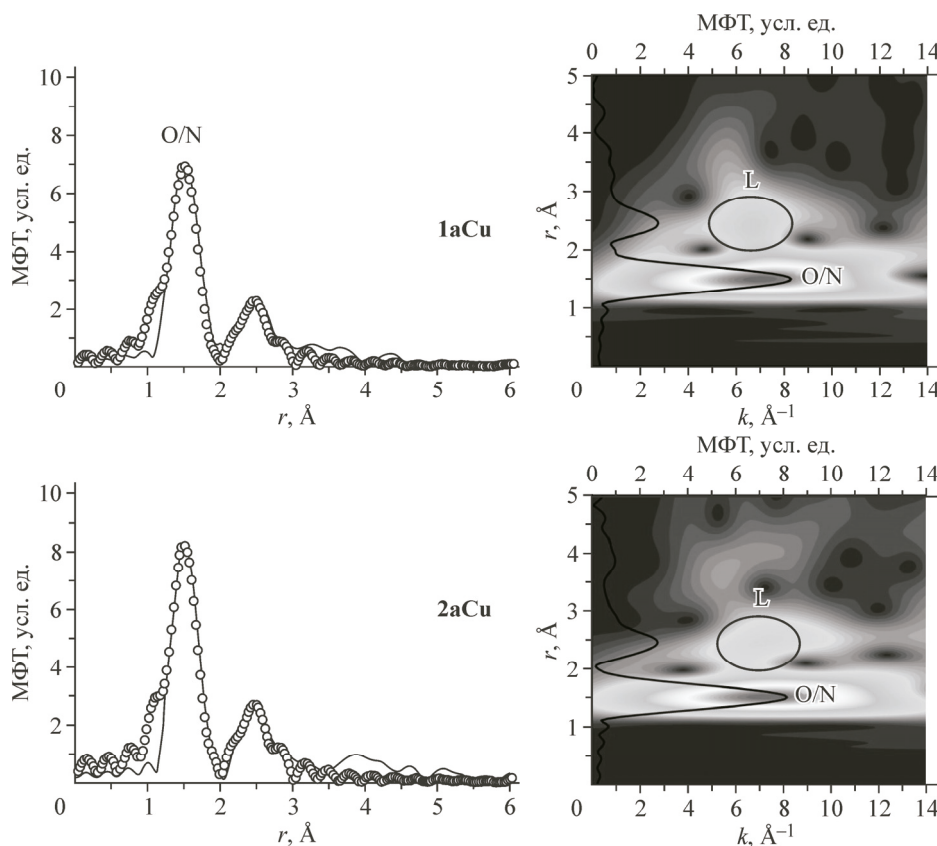


Рис. 3. МФТ EXAFS CuK-края для комплексов меди 1aCu, 2aCu (сплошная линия — эксперимент, пустые кружки — теория) и соответствующие WT-карты

#### Таблица 1

Структурные данные для комплексов меди 1aCu, 2aCu, 3bCu, 4bCu, комплексов никеля и марганца 2bNi, 3bNi, 2bMn и 3bMn, полученные из многосферной подгонки EXAFS

Соединение	<i>N</i>	<i>R</i> , Å	$\sigma^2$ , Å <sup>2</sup>	Атом	$\mathfrak{R}$ , %	Соединение	<i>N</i>	<i>R</i> , Å	$\sigma^2$ , Å <sup>2</sup>	Атом	$\mathfrak{R}$ , %
<b>1aCu</b>	4	1,93	0,0042	O/N	1,9*	<b>2bNi</b>	4	1,86	0,0050	O/N	3,1***
	5,2	2,90	0,0042	C			3	2,04	0,0033	O/N	4,0***
<b>2aCu</b>	4	1,96	0,0035	O/N		<b>3bNi</b>	2	2,11	0,0033	O/N	
	5,5	2,91	0,0035	C	3,0*		1	<b>3,36</b>	0,0055	Ni	
<b>3bCu</b>	4	1,92	0,0043	N/O	0,9**	<b>2bMn</b>	2	2,04	0,0030	O/N	4,0***
	1	3,65	0,0050	Cu			2	2,10	0,0030	O/N	
<b>4bCu</b>	4	1,93	0,0032	N/O	1,1**	<b>3bMn</b>	3	2,00	0,0030	O/N	3,4***
	1	3,63	0,0050	Cu			2	2,12	0,0030	O/N	
							1	<b>3,37</b>	0,0055	Mn	

\*  $\Delta r = 1,0—1,9$  Å.

\*\*  $\Delta r = 1,0—3,5$  Å.

\*\*\*  $\Delta r = 1,0—3,0$  Å, окно Hanning.

При меч ани я. *R* — межатомные расстояния; *N* — координационное число;  $\sigma^2$  — фактор Дебая—Валлера;  $\mathfrak{R}$  — функция качества подгонки.

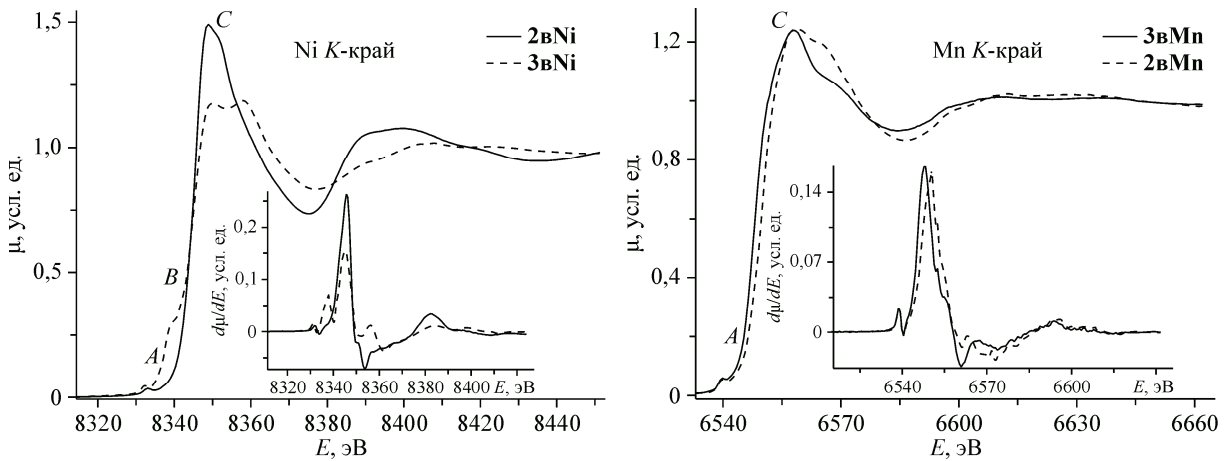


Рис. 4. Нормированные NiK-края для комплексов никеля: левая панель — **2vNi** (штрихи), **3vNi** (сплошная линия) и MnK-края для комплексов марганца: правая панель — **2vMn** (штрихи) и **3vMn** (сплошная линия); на вставках показаны первые производные K-краев поглощения

(ось  $z$  перпендикулярна плоскости квадрата). Максимум поглощения  $C$  формируется преимущественно за счет электронных переходов  $1s \rightarrow 4p_{xy}$ . Параметры XANES комплекса **3vNi** отвечают более симметричному окружению, например,искаженному октаэдрическому. XANES MnK-краев комплексов **2vMn** и **3vMn** имеют основные различия в области "белой линии", тогда как предкраевая область  $A$  имеет практически одинаковые амплитуды пиков. Первая производная края **3vMn** менее расщеплена по сравнению с производной **2vMn**. В отличие от XANES комплексов **2vNi**, **3vNi** даже качественный анализ для предсказания геометрии координационного узла в этих соединениях затруднен.

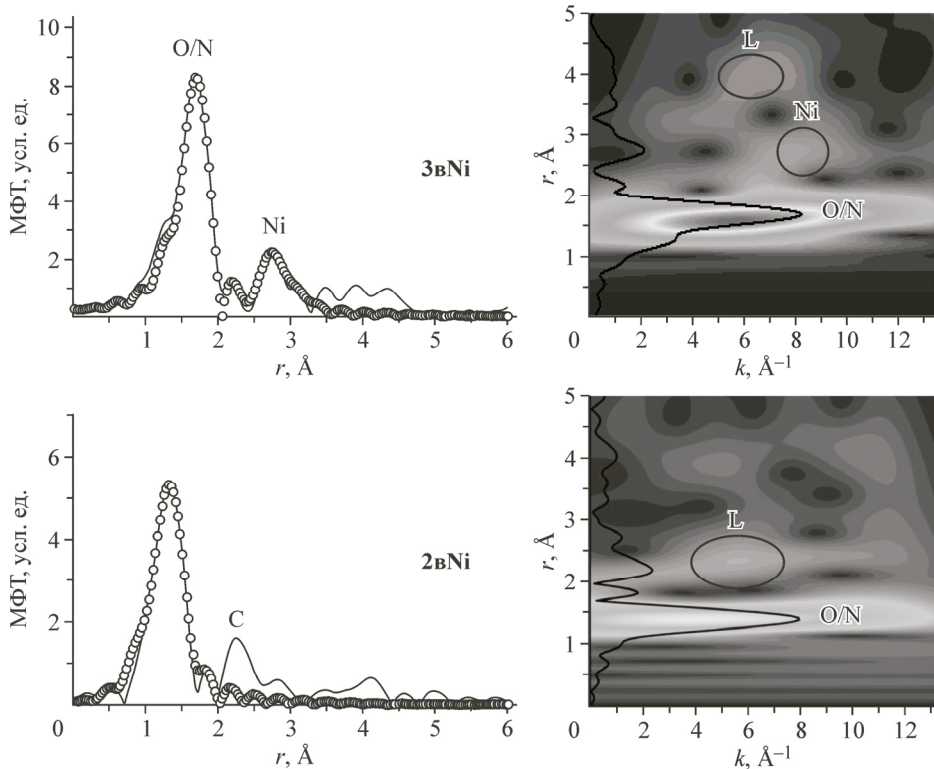


Рис. 5. МФТ NiK-края для комплексов **2vNi**, **3vNi** (левая панель) и WT-карты для этих соединений (правая панель), сплошная линия — эксперимент, пустые кружки — теория

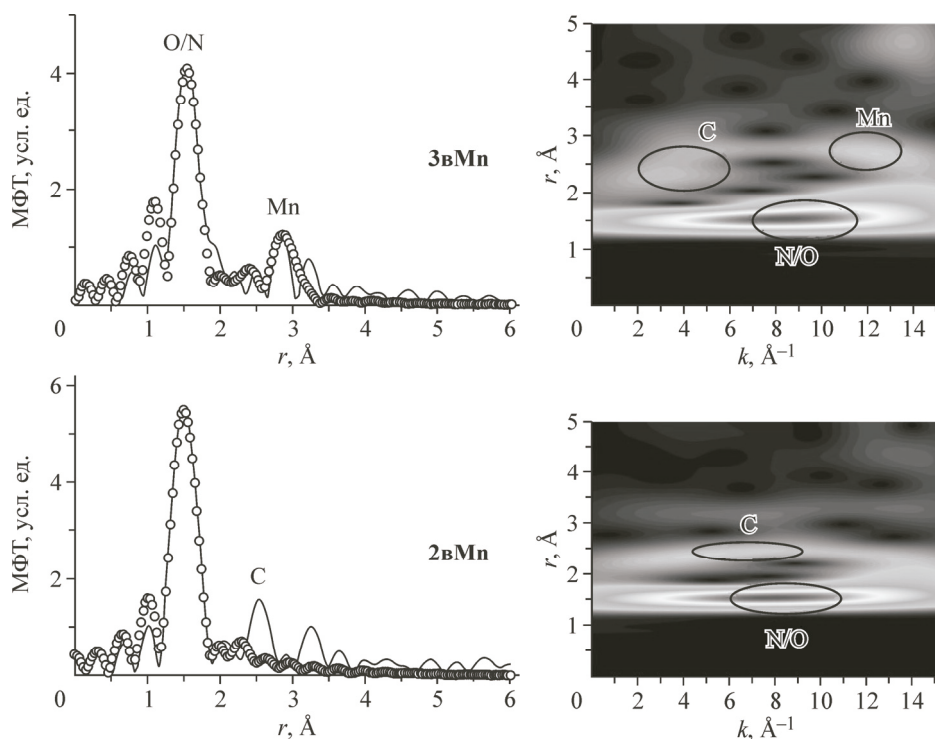


Рис. 6. МФТ EXAFS MnK-края для комплексов **2вMn**, **3вMn** (левая панель) и WT-карты для этих соединений (правая панель), сплошная линия — эксперимент, пустые кружки — теория

МФТ EXAFS Ni и MnK-краев для комплексов никеля и марганца показаны на рис. 5 и 6. Оба МФТ комплексов никеля состоят из основного пика при разных значениях  $r = 1,32 \text{ \AA}$  (**2вNi**) и  $r = 1,68 \text{ \AA}$  (**3вNi**), соответствующего проявлению ближайшей КС. Амплитуда основного пика МФТ **2вNi** существенно ниже по сравнению с амплитудой основного пика МФТ **3вNi**, что может указывать на меньшее значение координационного числа в первом соединении. Пики с малой амплитудой при больших  $r$  ( $r = 2,25 \text{ \AA}$  для **2вNi**) и  $r = 2,71 \text{ \AA}$  для **3вNi**) отражают проявление дальних КС. Из рис. 5 видно, что WT-карта **3вNi** помимо области, соответствующей рассеянию на первой КС, явно содержит область, для которой максимум рассеяния смещен в сторону больших значений волновых векторов. Вейвлет-карта **2вNi** имеет только область рассеяния при малых  $k$ . Можно сделать вывод, что пик МФТ при  $r = 2,71 \text{ \AA}$  для **3вNi** соответствует рассеянию на атоме никеля, тогда как пик МФТ при  $r = 2,25 \text{ \AA}$  для **2вNi** отвечает рассеянию на легких атомах окружения лигандов L (например, углерода). МФТ EXAFS MnK-краев комплексов **2вMn**, **3вMn** (см. рис. 6) из основного пика при  $r = 1,51 \text{ \AA}$  и последующих пиков при больших  $r$  ( $r = 2,54 \text{ \AA}$  для **2вMn** и  $r = 2,87 \text{ \AA}$  для **3вMn**). Анализ WT-карт указывает, что для данных пиков области рассеяния фотоэлектронов имеются различные координаты по значению  $k$ . Для комплекса **3вMn** область рассеяния сдвинута в большую сторону по сравнению с положением этой области в комплексе **2вMn** и соответствует расстоянию Mn...Mn. Таким образом, можно утверждать, что в комплексе **3вMn** реализуется димерная структура, тогда как комплекс **2вMn** является мономером.

Полученные из теоретического анализа EXAFS структурные параметры КС в исследованных комплексах **2вNi**, **3вNi**, **2вMn** и **3вMn** приведены в табл. 1. Димерные молекулы **3вNi** и **3вMn** имеют близкие значения расстояний Ni...Ni и Mn...Mn около  $3,36$  и  $3,37 \text{ \AA}$  соответственно. Из табл. 1 видно, что КЧ комплексообразователя в мономерах **2вNi** и **2вMn** равно 4, тогда как в димерах **3вNi** и **3вMn** КЧ увеличивается до 5, указывая на дополнительную координацию к ионам металла, возможно, молекул растворителя.

Данные, полученные из анализа EXAFS, находятся в хорошем соответствии с магнетохимическими измерениями для комплексов **1—4**. Величины магнитных моментов комплексов (в рас-

Таблица 2

*Величины магнитных моментов комплексов 1—3 в расчете на один ион металла*

Соединение	$\mu_{\text{эфф}}$ , М.Б. (298 К)	$\mu_{\text{эфф}}$ , М.Б. (77,4 К)	Соединение	$\mu_{\text{эфф}}$ , М.Б. (298 К)	$\mu_{\text{эфф}}$ , М.Б. (77,4 К)
<b>1aCu</b>	1,93	1,78	<b>3bNi</b>	2,95	2,54
<b>2aCu</b>	1,87	1,75	<b>2bMn</b>	5,90	5,88
<b>3bCu</b>	1,00	0,14	<b>3bMn</b>	5,20	3,98
<b>4bCu</b>	1,10	0,15			

чете на один ион металла) при комнатной и температуре кипения жидкого азота приведены в табл. 2. Комплекс никеля **2bNi** диамагнитен, что свидетельствует о плоскоквадратной координации центрального иона.

Для соединений **1aCu**, **2aCu** и **2bMn** величина  $\mu_{\text{эфф}}$  при понижении температуры до 77,4 К практически не изменяется, что указывает на отсутствие магнитного обменного взаимодействия между ионами металла и, следовательно, моноядерное строение комплексов.

Для комплексов типа **3bCu**, **4bCu**, **3bNi** и **3bMn** при охлаждении до 77,4 К наблюдается понижение величины  $\mu_{\text{эфф}}$ , что указывает на реализацию обменного взаимодействия антиферромагнитного типа между ионами металлов в биядерной молекуле. Для соединений **3bCu** и **4bCu** величины параметров обмена  $2J$ , рассчитанные в рамках изотропной модели Гейзенберга, Дирака, Ван—Флека (ГДВФ) [50] по уравнению Блини—Бауэрса [51], составляют  $-508$  и  $-460 \text{ см}^{-1}$  соответственно. Столь большие значения обменных параметров характерны для биядерных комплексов меди(II) с бис-азометинами на основе 1,3-диаминопропанола-2, структура которых включает так называемые "компартментальные" экзогенные 1,2-N,N'-мостики [15, 52]. Такие комплексы имеют практически плоское строение, что способствует эффективному перекрыванию "магнитных"  $d_{x^2-y^2}$ -орбиталей ионов меди(II) и, как следствие, очень сильному антиферромагнитному обмену. Расстояние Cu...Cu в подобных комплексах, для которых имеются рентгеноструктурные данные, составляет порядка  $3,4$ — $3,6 \text{ \AA}$  [52]. Результаты EXAFS комплексов **3bCu** и **4bCu** (см. табл. 1) хорошо согласуются с этими данными.

В комплексах **3bNi** и **3bMn** также имеет место антиферромагнитное обменное взаимодействие между парамагнитными центрами, однако температурную зависимость магнитной восприимчивости не удалось удовлетворительно описать в рамках модели ГДВФ, что является достаточно обычным для подобных систем [50]. Значительно более слабый, нежели в медных комплексах **3bCu** и **4bCu**, антиферромагнитный обмен в комплексах **3bNi** и **3bMn** обусловлен иной природой экзогенного мостика; ацетатный 1,3-O,O'-мостик является "антикомпартментальным", и в ацетатно-мостиковых комплексах имеет место сравнительно слабое антиферромагнитное обменное взаимодействие [15, 52]. Помимо этого в биядерных комплексах металлов, ионы которых содержат два или более неспаренных электрона, имеются перекрестные каналы обмена, вносящие ферромагнитный вклад в результирующее обменное взаимодействие [53].

Исходя из результатов исследования комплексов Cu, Ni и Mn с формил-кумарин и формилпироновыми лигандами двумя взаимно дополняющими методами исследования — рентгеновской спектроскопии и магнетохимии — установлено образование двух типов структур: димерные и мономерные. Возможность образования димерных молекул зависит в основном от наличия депротонирующего агента и дополнительного лиганда, способного образовывать экзогенные мостики, и не зависит от природы альдегидного фрагмента бис-азометина-пирана либо кумарина и металла-комплексообразователя.

Работа выполнена при частичной финансовой поддержке гранта Российской фонда фундаментальных исследований № 14-03-00788.

## СПИСОК ЛИТЕРАТУРЫ

1. Mishra A.P., Mishra R.K., Pandey M.D. // Координац. химия. – 2011. – **56**. – С. 1840.
2. Sarkar S., Dey K. // Spectrochim. Acta PA. – 2010. – **77**. – Р. 740.
3. Kui Cheng, Qing-Zhong Zheng, Hai-Liang Zhu // Inorg. Chem. Commun. – 2009. – **12**. – Р. 1116.
4. Absule S., Barve D., Chen D. et al. // J. Med. Chem. – 2006. – **49**. – Р. 7242.
5. Barve D., Ahmed F., Absule S. et al. // J. Med. Chem. – 2006. – **49**. – Р. 3800.
6. Метелица А.В., Бурлов А.С., Безуглый С.О. и др. // Координац. химия. – 2006. – **32**. – С. 894. [Meteli-tsa A.V., Burlov A.S., Bezuglyi S.O. et al. // Russ. J. Coord. Chem. – 2006. – **32**. – Р. 858.]
7. Chattopadhyay T., Mukherjee M., Banu K.S. // J. Coord. Chem. – 2009. – **62**. – Р. 967.
8. Chang K.H., Huang C.C., Lui Y.H. et al. // Dalton Trans. – 2004. – Р. 1731.
9. Comprehensive Coordination Chemistry II. – V.9 / Ed. M.D. Ward – Amsterdam: Elsevier, 2004.
10. Dunach E., Esteves A.P., Medeiros M.J. et al. // J. Electroanal. Chem. – 2004. – **566**. – Р. 39.
11. Mirkhani V., Tangestaninejad S., Mogadam M. et al. // Bioorg. Med. Chem. – 2004. – **12**. – Р. 903.
12. Бурлов А.С., Николаевский С.А., Богомяков А.С. и др. // Координац. химия. – 2009. – **35**. – С. 495. [Burlov A.S., Nikolaevskii S.A., Bogomyakov A.S. et al. // Russ. J. Coord. Chem. – 2009. – **35**, № 7. – Р. 486.]
13. Бурлов А.С., Икорский В.Н., Николаевский С.А. и др. // Журн. неорган. химии. – 2008. – **53**, № 10. – С. 1677. [Burlov A.S., Ikorskii V.N., Nikolaevskii S.A. et al. // Russ. J. Inorg. Chem. – 2008. – **53**, № 10. – Р. 1566.]
14. Бурлов А.С., Ураев А.И., Икорский В.Н. и др. // Журн. общ. химии. – 2008. – **78**, № 6. – С. 1002. [Burlov A.S., Uraev A.I., Ikorskii V.N. et al. // Russ. J. Gen. Chem. – 2008. – **78**, N 6. – Р. 1230.]
15. Коган В.А., Луков В.В., Щербаков И.Н. // Координац. химия. – 2010. – **36**. – С. 403. [Kogan V.A., Lukov V.V., Shcherbakov I.N. // Russ. J. Coord. Chem. – 2010. – **36**. – Р. 401.]
16. Луков В.В., Коган В.А., Левченков С.И. и др. // Координац. химия. – 2015. – **41**. – С. 3. [Lukov V.V., Kogan V.A., Levchenkov S.I. et al. // Russ. J. Coord. Chem. – 2015. – **41**. – Р. 1.]
17. Chaundhuri P. // Coord. Chem. Rev. – 2003. – **243**. – Р. 143.
18. Левченков С.И., Щербаков И.Н., Попов Л.Д. и др. // Журн. структур. химии. – 2015. – **56**. – С. 120. [Levchenkov S.I., Shcherbakov I.N., Popov L.D. et al. // J. Struct. Chem. – 2015. – **56**. – Р. 113.]
19. Гарновский А.Д., Васильченко В.Г., Гарновский Д.А. // Росс. хим. журн. – 2009. – **53**. – С. 100.
20. Shimazaki Y., Yajima T., Tani F. et al. // J. Am. Chem. Soc. – 2007. – **129**. – Р. 2559.
21. Shimazaki Y., Arai N., Dunn T. et al. // Dalton Trans. – 2011. – **40**. – Р. 2469.
22. Чигаренко Г.Г., Пономаренко А.Г., Бурлов А.С. и др. Патент РФ, № 2119533 // Бюлл. изобр. – 1998. – № 27.
23. Пономаренко А.Г., Чигаренко Г.Г., Бурлов А.С. и др. Патент РФ, № 2339683 // Бюлл. изобр. – 2008. – № 33.
24. Котова О.В., Елисеева С.В., Аверюшкин А.С. // Изв. РАН Сер. химии. – 2008. – **57**. – С. 1846. [Kotova O.V., Eliseeva S.V., Averjushkin A.S. et al. // Russ. Chem. Bull. – 2008. – **57**. – Р. 1880.]
25. Михайлов И.Е., Душенко Г.А., Стариков Д.А. и др. // Вестник ЮНЦ РАН. – 2010. – **6**. – С. 32.
26. Sorrell T.N. // Tetrahedron. – 1989. – **45**. – Р. 3.
27. Власенко В.Г., Ураев А.И., Гарновский А.Д. и др. // Изв. РАН Сер. физ. – 2008. – **72**. – С. 500. [Vlasenko V.G., Uraev A.I., Garnovskii A.D. et al. // Bull. Russ. Acad. Sci.: Phys. – 2008. – **72**. – Р. 468.]
28. Nivorozhkin A.L., Uraev A.I., Bondarenko G.I. et al. // Chem. Commun. – 1997. – Р. 1711.
29. Solomon E.I., Baldwin M.J., Lavery M.D. // Chem. Rev. – 1992. – **92**. – Р. 521.
30. Biomimetic Inorganic Chemistry / Eds. R.H. Holm, E.I. Solomon // Chem. Rev. – 2004. – **104**. – Р. 347.
31. Lewinski J., Zachara J., Justyniak I., Dranka M. // Coord. Chem. Rev. – 2006. – **249**. – Р. 1185.
32. Nabei A., Kuroda-Sowa T., Okubo T. et al. // Inorg. Chem. Acta. – 2008. – **361**. – Р. 3489.
33. Ross T.M., Neville M., Innes D.S. et al. // Dalton Trans. – 2010. – **39**. – Р. 149.
34. Popov L.D., Tupolova Y.P., Lukov V.V. et al. // Inorg. Chem. Acta. – 2009. – **362**. – Р. 1673.
35. Tupolova Y.P., Kogan V.A., Lukov V.V. et al. // Transit. Met. Chem. – 2007. – **32**. – Р. 656.
36. Popov L.D., Levchenkov S.I., Shcherbakov I.N. et al. // Inorg. Chem. Comm. – 2012. – **17**. – Р. 1.
37. Shcherbakov I.N., Levchenkov S.I., Tupolova Y.P. et al. // Eur. J. Inorg. Chem. – 2013. – **28**. – Р. 5033.
38. Grazul M., Budzisz E. // Coord. Chem. Rev. – 2009. – **293**. – Р. 2588.
39. Chernyshov A.A., Veligzhanin A.A., Zubavichus Y.V. // Nucl. Instr. Meth. Phys. Res. A. – 2009. – **603**. – Р. 95.
40. Кочубей Д.И., Бабанов Ю.А., Замараев К.И., Ведринский Р.В., Крайzman В.Л., Кулипанов Г.Н., Мазалов Л.Н., Скрипинский А.Н., Федоров В.И., Хельмер Б.Ю., Шуваев А.Т. Рентгеноспектральный метод изучения структуры аморфных тел: EXAFS-спектроскопия. – Новосибирск: Наука, Сиб. отд., 1988.
41. Newville M. // J. Synchrotron Rad. – 2001. – N 8. – Р. 96.

42. Zabinsky S.I., Rehr J.J., Ankudinov A., Albers R.C., Eller M.J. // Phys. Rev. – 1995. – **B52**. – P. 2995.
43. Stern E.A. // Phys. Rev. B. – 1993. – **48**. – P. 489825 – 489827.
44. Bunker G. Introduction to XAFS: A Practical Guide to X-ray Absorption Fine Structure Spectroscopy. – Cambridge University Press, 2010.
45. Funke H., Scheinhost A.C., Chukalina M. // Phys. Rev. B. – 2005. – **71**. – P. 094110.
46. Funke H., Chukalina M., Scheinost A.C. // J. Synchrotron Rad. – 2007. – **14**. – P. 426.
47. Бурлов А.С., Власенко В.Г., Кощенко Ю.В. и др. // Координац. химия. – 2016. – **42**, № 4. – С. 237. [Burlov A.S., Vlasenko V.G., Koshchenko Y.V. et al. // Russ. J. Coord. Chem. – 2016. – **42**. – P. 267.]
48. Бурлов А.С., Власенко В.Г., Гарновский Д.А. и др. // // Журн. структур. химии. – 2015. – **56**, № 3. – С. 564. [Burlov A.S., Vlasenko V.G., Garnovskii A.D. et al. // J. Struct. Chem. – 2015. – **56**. – C. 504.]
49. Shcherbakov I.N., Levchenkov S.I., Tupolova Yu.P. et al. // Eur. J. Inorg. Chem. – 2013. – **13**. – P. 5033.
50. Kahn O. Molecular magnetism. – New York: VCH Publishers, 1993.
51. Bleaney B., Bowers K.D. // Proc. R. Soc. London. A. – 1952. – **214**, N 1119. – P. 451.
52. Луков В.В., Щербаков И.Н., Левченков С.И. и др. // Координац. химия. – 2017. – **43**, № 1. – С. 3. [Lukov V.V., Shcherbakov I.N., Levchenkov S.I. et al. // Russ. J. Coord. Chem. – 2017. – **43**, N 1. – P. 1.]
53. Ракитин Ю.В., Калинников В.Т. Современная магнетохимия. – СПб.: Наука, 1994.